

潮汐変動に対する成層内湾の密度場の応答

東京電機大学大学院 学生員 山本隆一  
 東京電機大学理工学部 正会員 有田正光  
 東京電機大学理工学部 正会員 中井正則

1. 研究の目的

内湾における湾内水と外洋水との交流, 交換ならびに混合は, 内湾の環境を考える上で, 無視できない重要な問題である。この問題に関連して, 非成層の場合を対象にした数多くの研究がなされてきた。しかし, 閉鎖性の内湾は成層化していることが多く, この条件下での現象の解明が重要である。以上の点を踏まえて, 本研究では, 成層内湾を対象にして, 潮汐による湾内水と外洋水との交流を取り扱い, それに伴う湾内の密度場の変化について実験的に検討した。なお, 本研究の注目点は, 「湾口閉塞が内湾の密度場の変化に与える影響」である。

2. 実験方法

使用した実験装置は, 図-1に示す様な 2,500mm×6,025mm×560mm の平面水槽に放流水槽を付設したものである。水槽内に, 700mm×700mm の内湾を設け, 開口幅を  $B=100\text{mm}$  とした。また, 湾奥に河口幅  $B_0=50\text{mm}$  の河川を取り付け, 放流水槽に接続した。湾口部には, 高さ  $\Delta h$  の突起物を設置して, 湾口を閉塞した。

実験では, 最初に, 湾内に成層状態を作製した。湾内成層は, 湾の開口部を開け放した状態で, 河川水を一定流量  $0.03 \text{ m}^3/\text{s}$  で10分間放流することによって作製した(湾内の下層が冷水(外洋水), 上層が温水(河川水)となっている)。その後, 起潮装置を駆動させて潮汐を発生させ, 潮汐による湾内の密度場の変化を調べた。測定項目は, 水表面の水温分布(湾全体)と水温の鉛直分布(湾の中心)であり, それぞれの測定には, サーモグラフ法およびサーミスター型水温計を用いた(図-2参照)。

表-1に, 実験条件を示す。両ケースにおいて,  $\Delta h/H$ (=突起物の高さ/湾内水深)が異なっており(他の量はほぼ同じである), Run2はRun1より湾口閉塞が強い。

表-1 実験条件

	Run1	Run2
周期 $T$ (min)	5	5
振幅 $a$ (mm)	10	10
水深 $H$ (cm)	5	5
$\ell/H$	1/3	1/3
$\Delta h/H$	1/3	1/2
外洋水温度 $T_a$ ( $^{\circ}\text{C}$ )	7.6	8.5
河川水温度 $T_0$ ( $^{\circ}\text{C}$ )	20	20
河川水流量 $Q_0$ ( $\ell/\text{s}$ )	0.03	0.03
外洋水密度 $\rho_a$ ( $\text{g}/\text{cm}^3$ )	0.99989	0.99984
河川水密度 $\rho_0$ ( $\text{g}/\text{cm}^3$ )	0.99823	0.99823

$\Delta h$ は突起物の高さ,  $\ell$ は河口部の水深

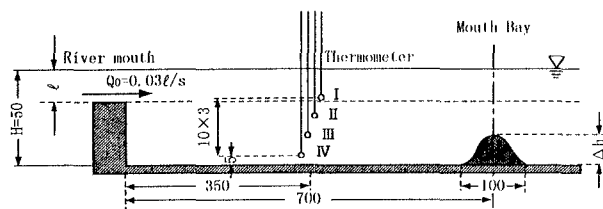


図-2 サーミスターの設置位置(単位:mm)

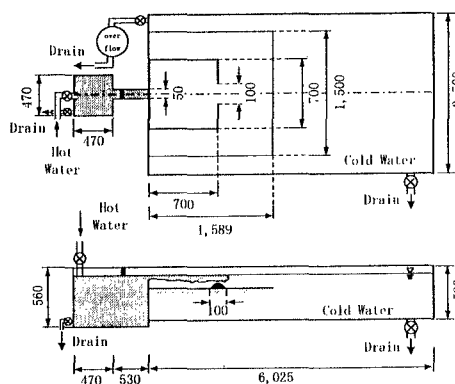


図-1 実験装置(単位:mm)

Key words: Enclosed stratified bay, Tidal exchange, Bay mouth blocking, Vertical density gradient

〒350-03 埼玉県比企郡鳩山町石坂 TEL 0492-96-2911 FAX 0492-96-6501

### 3. 実験結果と考察

図-3, 4に、湾の中心における水温の時系列を示す。Run1では、潮汐変動に対して、上層から下層までほぼ周期的な水温変化を示している。一方、Run2では、下層(サミスター-IV)において水温変化の周期性が崩れており、上げ潮時における外洋水の下層への流入は、間欠的である。

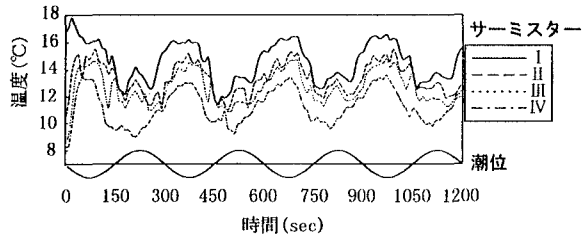


図-3 鉛直温度分布の時系列(Run1)

表-2は、干潮時と満潮時との水温の差を、上層(サミスター-I)と下層(サミスター-IV)について示したものである。Run1では、上層と下層の水温差は、比較的近い値である。一方、Run2では、上層の水温差は、下層のその5倍以上になっている。

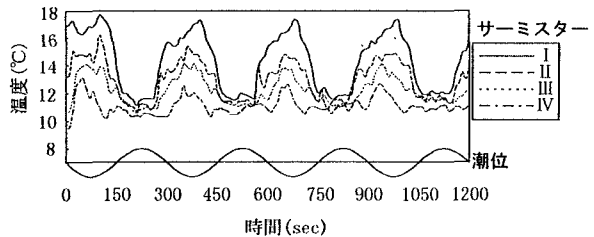


図-4 鉛直温度分布の時系列(Run2)

図-5, 6は、湾の中心における水温の鉛直分布を示したものである。Run1では満潮時、干潮時ともに水温鉛直分布は直線状であり、その勾配はほぼ等しい。これより、干潮時および満潮時の成層の強さは同じ程度と言える。一方、Run2でも、水温鉛直分布は直線状であるが、その勾配は、干潮時と満潮時とで大きく異なっている。干潮時には強い成層が形成されているが、満潮時の成層は弱く、Run1の結果と比較しても弱いものになっている。

表-2 干潮時水温と満潮時水温の差

潮汐周期	Run1		Run2	
	I (上層)	IV (下層)	I (上層)	IV (下層)
1	2.4	3.6	5.3	1.5
2	2.8	3.4	5.2	0.9
3	2.6	3	5.2	0.4
平均	2.6	3.3	5.2	0.9

単位 (°C)

### 4. まとめ

本研究により、潮汐による成層内湾の密度場の変化は、湾口閉塞度によって大きく異なることが分かった。しかし、ここで得られた結果は、現象の側面の1つを見ているに過ぎない。現象の全貌を明らかにするためには、さらに詳細な実験的、理論的検討が必要である。

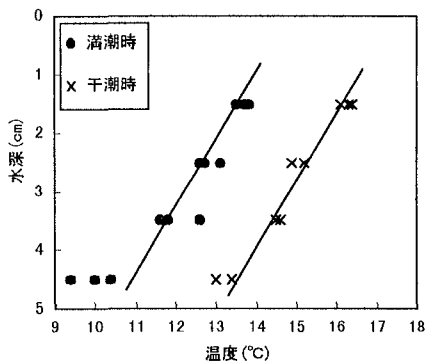


図-5 水温の鉛直分布 (Run1)

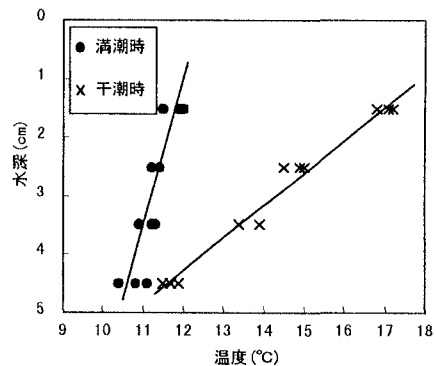


図-6 水温の鉛直分布 (Run2)